

## СИСТЕМЫ СИНТЕЗА ВИЗУАЛЬНОЙ ОБСТАНОВКИ

УДК 629.7.058.74 : 681.3.06

А. М. КОВАЛЕВ, А. С. ТОКАРЕВ  
(Новосибирск)

### К ОЦЕНКЕ ПРОИЗВОДИТЕЛЬНОСТИ АЛГОРИТМОВ ФИЛЬТРАЦИИ СИНТЕЗИРОВАННЫХ ИЗОБРАЖЕНИЙ

В системах синтеза визуальной обстановки (ССВО) [1] изображение воспроизводится на дискретном растре, который можно представить в виде двумерной  $\delta$ -функции выборки. Дискретизации подвергается синтезированное изображение видимых поверхностей имитируемых объектов. Это двумерная функция, которая описывает конечное множество областей на плоскости, раскрашенных в различный цвет. Чаще всего область плоскости — выпуклый или невыпуклый многоугольник, являющийся гранью многогранной модели объекта.

Поскольку нет ограничений снизу на площадь и сверху на периметр области, а также ввиду того, что область ограничивается «математически» заданной кривой или множеством отрезков, синтезированное изображение содержит пространственные частоты, намного превышающие частоты двумерной дискретизации. Если в изображении предварительно не подавлены частоты, превышающие половину частот дискретизации по каждому из возможных направлений на плоскости, то возникнет элайсинг, порождающий хорошо известные дефекты: ступеньки на контурах объектов, разрывы тонких граней, муары, мерцания малых объектов и т. д.

Для подавления верхних частот используется свертка изображения с фильтром

$$G(x, y) = \int \int_{x' y'} C(x', y') H(x - x', y - y') dx' dy', \quad (1)$$

где  $C(x, y)$  — синтезированное изображение;  $H(x, y)$  — фильтр;  $G(x, y)$  — фильтрованное изображение.

Процесс фильтрации на уровне пиксела (элемента изображения) сводится к тому, что в каждую точку выборки устанавливается фильтр  $H$  (рис. 1), а  $n$  многоугольников, попавших в его апертуру, вносят вклад в результирующий цвет  $G_{\Pi}$  следующим образом:

$$G_{\Pi} = \sum_{i=1}^n C_i H_i, \quad (2)$$

где  $C_i$  — цвет  $i$ -го многоугольника, принятый постоянным в апертуре фильтра;  $H_i$  — двойной интеграл от функции фильтра над областью многоугольника. Удовлетворительные результаты дают фильтры, площадь основания (апертуры) которых не меньше  $4\Delta x \Delta y$  ( $\Delta x$ ,  $\Delta y$  — расстояния между центрами пикселов, измеренные вдоль ортогональных осей  $x$  и  $y$ ) [2].

Для оценки производительности фильтрующего алгоритма, выполняющего (2), необходимо знать среднее значение числа многоугольников  $n$ , попавших в апертуру фильтра. Этому вопросу и посвящена данная работа.

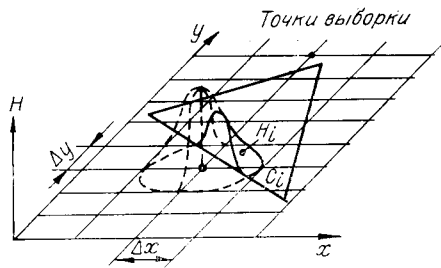


Рис. 1

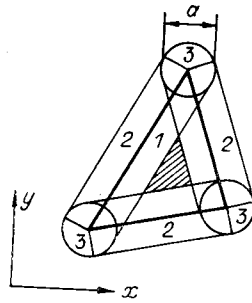


Рис. 2

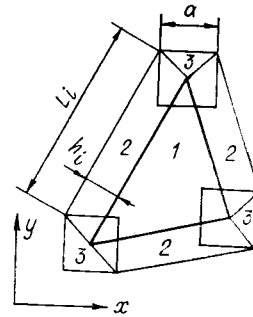


Рис. 3

Вначале определим число пикселей, накрытых фильтрованным многоугольником. Затем оценим число пикселей, накрытых фильтрованными гранями синтезированного изображения. Поделив полученный результат на число пикселей в плоскости изображения, найдем среднее значение  $n$ . Исследования будем проводить для двух распространенных типов фильтра: с круглым и квадратным основаниями [2, 3]. Пусть расстояния между центрами пикселей  $\Delta x = \Delta y$  и все необходимые величины измеряются в этих единицах.

**Площадь фильтрованного многоугольника.** Фильтр с круглым основанием диаметром  $a$ . Пусть задан выпуклый многоугольник площади  $S$ , ограниченный ребрами длины  $L$ . Процесс фильтрации (1) увеличивает его площадь, «размывая» границы. На рис. 2 показан фильтрованный треугольник. Внутренняя заштрихованная часть треугольника полностью покрывает апертуру фильтра. Область в окрестности ребер накрывает апертуру частично. Точки, расположенные на расстоянии  $d < a/2$  от соответствующих ребер, и образуют эту окрестность.

Нетрудно видеть, что искомая площадь фильтрованного треугольника  $S_0$  складывается из трех величин: площади  $S(1)$ ; дополнительной площади на ребрах, равной  $La/2(2)$ ; площади на вершинах, равной площади основания фильтра, т. е.  $\pi a^2/4(3)$ . Указанное распространяется на любой выпуклый многоугольник.

Таким образом, для фильтра с круглым основанием

$$S_0 = S + \frac{a}{2} L + \frac{\pi}{4} a^2. \quad (3)$$

Фильтр с квадратным основанием площади  $a^2$  (рис. 3). Рассуждая так же, как и для фильтра с круглым основанием, получим

$$S_0 = S + \sum_i L_i h_i + a^2, \quad (4)$$

где  $L_i$  — длина  $i$ -го ребра;  $h_i$  — высота параллелограмма, построенного на  $i$ -м ребре. Для вертикальных и горизонтальных ребер  $h_i = a/2$ , для наклонных под углом  $45^\circ$  к осям координат —  $h_i = a/\sqrt{2}$ . Для произвольного наклона ребра

$$a/2 \leq h_i \leq a/\sqrt{2}. \quad (5)$$

С учетом (5) для фильтра с квадратным основанием

$$S_0 \leq S + La/\sqrt{2} + a^2. \quad (6)$$

**Число пикселей, накрытых фильтрованным многоугольником.** Воспользуемся результатом, известным из интегральной геометрии на плоскости [4], утверждающим, что для совокупности точек с целыми координатами (целочисленная решетка) среднее значение числа точек, содержащихся внутри области площади  $S_1$ , равно  $S_1$ .

Таким образом, при дискретизации фильтрованных многоугольников число выборок (пикселей) в среднем равно площади фильтрованного многоугольника.

Нетрудно показать, что значения  $S_{\circ}$  и  $S_{\square}$  из (3), (6) являются предельными, поскольку площадь фильтрованных невыпуклых многоугольников или областей, ограниченных простыми кривыми, всегда меньше найденных значений.

**Коэффициент формы многоугольника.** Периметр многоугольника удобно выразить через площадь с помощью соотношения

$$L = 2l\sqrt{\pi S}, \quad (7)$$

где  $l$  — коэффициент формы, который интегрально определяет форму области плоскости. Наименьшее  $l$  соответствует кругу:  $L = 2\pi R$ ;  $S = \pi R^2$ ;  $l = 1$ .

Коэффициент формы многоугольника показывает, во сколько раз его периметр больше периметра круга, если площади многоугольника и круга равны. Чем меньше  $l$ , тем ближе область по форме к равностороннему многоугольнику, кругу; чем больше  $l$ , тем области более вытянутые, протяженные, тонкие.

С учетом (7) выражения (3) и (6) можно представить в виде

$$S_{\circ} \leq S + al\sqrt{\pi S} + \pi a^2/4, \quad (8)$$

$$S_{\square} \leq S + al\sqrt{2\pi S} + a^2. \quad (9)$$

**Число пикселей, покрытых  $F$  гранями синтезированного изображения.** Пусть синтезированное изображение содержит  $F$  видимых граней, причем  $i$ -я грань имеет площадь  $S_i$  и коэффициент формы  $l_i$ .

Среднее число пикселей, покрытых фильтрованными гранями, равно для круглого и квадратного оснований фильтра соответственно:

$$P_{\circ} \leq \sum_{i=1}^F S_i + a\sqrt{\pi} \sum_{i=1}^F l_i \sqrt{S_i} + \frac{\pi}{4} a^2 F; \quad (10)$$

$$P_{\square} \leq \sum_{i=1}^F S_i + a\sqrt{2\pi} \sum_{i=1}^F l_i \sqrt{S_i} + a^2 F. \quad (11)$$

Первый член суммы равен площади синтезированного изображения:  $\sum_{i=1}^F S_i = S_{\Sigma}$ . Второй член суммы можно выразить через средний коэффициент формы граней в изображении:

$$\sum_{i=1}^F l_i \sqrt{S_i} = l_{\text{ср}} \sum_{i=1}^F \sqrt{S_i},$$

$$\text{где } l_{\text{ср}} = \frac{\sum_{i=1}^F l_i \sqrt{S_i}}{\sum_{i=1}^F \sqrt{S_i}}.$$

Если учесть, что согласно неравенству Коши — Буняковского

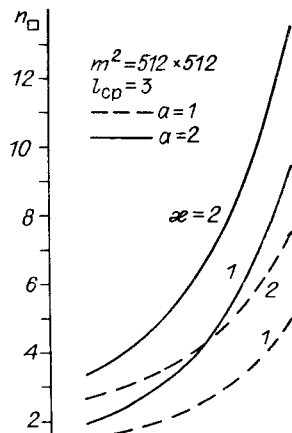
$$\sum_{i=1}^F \sqrt{S_i} \leq \sqrt{\sum_{i=1}^F S_i \sum_{i=1}^F 1} = \sqrt{S_{\Sigma} F},$$

то (10) и (11) можно переписать в виде

$$P_{\circ} \leq S_{\Sigma} + al_{\text{ср}}\sqrt{\pi S_{\Sigma} F} + \pi a^2 F/4; \quad (12)$$

$$P_{\square} \leq S_{\Sigma} + al_{\text{ср}}\sqrt{2\pi S_{\Sigma} F} + a^2 F. \quad (13)$$

Необходимо подчеркнуть, что получена верхняя оценка  $P_{\circ}$  и  $P_{\square}$ . Предельные значения достигаются при равенстве площадей всех многоугольников в синтезированном изображении.



**Среднее число граней, покрывающих апертуру фильтра.** Пусть плоскость изображения содержит  $m^2$  пикселей и относительная площадь синтезированного изображения  $\kappa = S_z/m^2$ . При этом среднее число граней, приходящихся на один пиксел, не превышает для круглого и квадратного оснований фильтра соответственно:

$$n_{\circ} = \kappa + \frac{a}{m} l_{cp} \sqrt{\pi \kappa F} + \frac{\pi a^2}{4m^2} F; \quad (14)$$

$$n_{\square} = \kappa + \frac{a}{m} l_{cp} \sqrt{2\pi \kappa F} + \frac{a^2}{m^2} F. \quad (15)$$

Таким образом, среднее число граней, покрывающих апертуру фильтра, выбрав необходимые параметры и вычислив значение  $n$ , нетрудно подсчитать, что фильтрующий алгоритм (2) потребует не более  $nm^2$  операций типа  $A + BC$ .

Площадь синтезированного изображения  $\kappa$  может меняться в широких пределах: для визуальных сцен, составленных из приоритетных непрозрачных объектов,  $\kappa \leq 1$ , для сцен с полупрозрачными объектами возможно значение  $\kappa > 1$ .

Коэффициент формы для большинства визуальных сцен, синтезированных с помощью ССВО, описанных в [1], не превышает  $l_{cp} = 3$ .

Зависимость  $n_{\square}$  для  $m^2 = 512 \times 512$ ,  $l_{cp} = 3$ ,  $a = 1-2$ ,  $\kappa = 1-2$  и  $1k \leq F \leq 64k$  показана на рис. 4.

В заключение следует отметить, что рассмотренная методика и полученные результаты, в частности, для квадратного основания фильтра пригодны также для оценки производительности алгоритмов, связанных с поделением плоскости изображения на квадратные окна, например, в алгоритме Варнока [5].

#### ЛИТЕРАТУРА

1. Ковалев А. М., Талныкин Э. А. Машинный синтез визуальной обстановки // Автоматизация. — 1984. — № 4.
2. Crow F. C. The aliasing problem in computer-generated shaded images // SACM. — 1977. — N 11.
3. Catmul E. An analytic visible surface algorithm for independent pixel processing // Comput. Graph. — 1984. — 18, N 3.
4. Сантало Л. А. Введение в интегральную геометрию. — М.: Изд-во иностр. лит., 1956.
5. Ньюмен У., Спрулл Р. Основы интерактивной машинной графики. — М.: Мир, 1976.

Поступила в редакцию 6 января 1988 г.